

京都大学

正員 宮川豊章

ピース・エス・コンクリート 正員 江口逸雄

京都大学

正員 小林和夫

海洋あるいは冬期に融雪剤が散布されるような塩分霧風気中においては、耐久性の観点から鉄筋、PC鋼材等の腐食が最も重要な問題となる。鉄筋の防食方法としては電気防食、樹脂塗装鉄筋など種々の方法が考えられているが、その基本は水セメント比を小さくすることによってコンクリートを緻密なものとし、かぶりを大きくすることである。しかし、鉄筋の腐食機構が水セメント比、ひびわれ等によると影響を与える可能性があるにもかかわらず、コンクリートによる防食機能についてこのようないくつかの影響が考慮されてはいる。

本研究は、特にコンクリートの水セメント比に注目し、小供試体(鋼材表面積100cm²以下)を用いた分極試験によるミクロ腐食導動を検討するとともに、10×15×300mm角柱供試体を用いた電位分布測定により、水セメント比の部材内部におけるばらつきおよびひびわれの存在によるマクロな腐食導動への影響を検討し、前者の検討を通じて、水セメント比が鉄筋腐食機構に与える影響について基礎資料を得ようとしたものである。

実験概要 水セメント比としては土木学会「コンクリート標準示方書」を参考として0.40, 0.60の2種を用い、スランプを150mmとするため単位水量を196ml/m³と一定にしコンクリート配合を決定した。鋼材の配筋は全て水平筋とし、かぶりは鋼材径の2倍とした。また、電極としては銀-塩化銀電極を用いている。

分極試験: 鋼材としては墨皮付異形丸棒(Φ10), および墨皮の表面が削り落とされたことを考慮して磨き丸棒(Φ13)の両者を用いた。異形丸棒を用いた供試体については練りきせ木として木道水を用い、2週間の湿布養生、4週間の室内気中養生の後試験に供した。磨き丸棒を用いたものは、塩分浸透後を想定して練りきせ木として人工海水を用い、4週間の密封養生の後試験に供した。各要因につき、供試体は2個ずつ用いた。

電位分布測定: 鋼材としては全て墨皮付異形丸棒(Φ10)を用い、練りきせ木としては木道水を用いた。供試体としては以下に示す種類のものを用いた。
 a) 全体を同一のW/Cのコンクリートで充填したもの(略称0.60, 0.40; 図-2, 3参照)
 b) aと同様の供試体で、中央部40mmを曲げスパンとした2点集中荷重により隙間ひびわれを導入したもの(略称0.60-ひびわれ, 0.40-ひびわれ; 図-4, 5参照)
 c) 部材内部におけるW/Cのばらつきを想定して、中央部40~50mmの凹面と残りの部分とを別W/Cのコンクリートで充填したもの(略称0.60-0.40-0.60, 0.40-0.60-0.40; 図-6, 7参照) なお略称中における数値はW/Cを表している。供試体は4週間の湿布養生の後、試験中に散水する食塩水(NaCl 3.13%水溶液)がよく浸透するように5ヶ月の室内において乾燥させた後試験に供した。試験中は1日に2度食塩水を散水し、散水開始時、1日後、3日後、1週間後、1月後、2月後、3月後の計7回まで電位分布の測定を行った。

結果および考察 分極曲線の例を図-1に示す。分極曲線の解釈そのものがまだ十分に解明されてはいないものの、W/Cが小さなものが不動態領域が若干広く、分極抵抗も大きい、分極抵抗法の考え方からすれば腐食速度は小さいものと考えられる。また、墨皮付異形丸棒については、塩分、養生条件等が異なるため単純な比較はできないものの、不動態

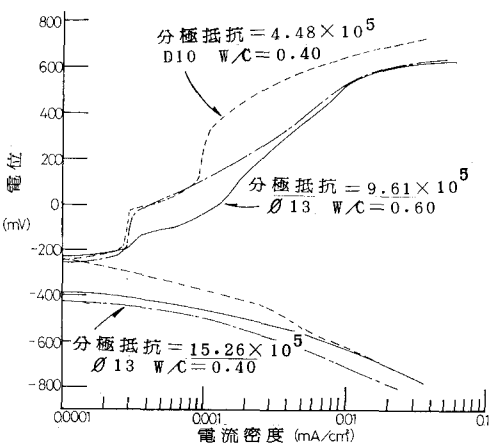


図-1 分極曲線

被膜の再補修の導歎が見られ、また今後抵抗としての小さき値を得た。

電位分布の例を図-2へと示す。また、電位分布図において上に凸部と下に凹部部分の頂点距離をアーチド、カソード距離

と仮定し、その電位差とともに範囲を表-1に示す。電位については散水期間の増大とともに全体として卑に移行してあり、ASTM-C876による腐食領域(約-240mV vs Ag/AgClより卑)に入っている部分もある。全体がW/Cの場合、W/Cによる影響は顕著であり、W/Cが0.40では非腐食領域であるのに拘らず0.60では腐食領域近傍にあり電位差も大きい。ひびわれのあるものについてもW/Cが0.60のものが卑であるが、電位差については必ず同様の値となる。しかし、0.40ではその一部分のみが腐食領域にあり、現段階では全体が腐食領域にある0.60よりもマクロセル導歎が大きい可能性を指摘できる。W/Cを部材内部で変化させた場合、局部的にW/Cが大きき場合(図-6)では全体としてW/Cが小きき場合と必ず同様であるに拘らず、局部的にW/Cが小きき場合(図-7)ではW/Cの大きき部分のマクロアーチド導歎が比較的明瞭である。したがって、低W/CのコンクリートとすればW/Cのはらつきは腐食上の欠陥とはなり難いものと考えられる。また、今回定義したアーチド、カソード距離は、30~40(平均で65~85)の範囲にあり、実在構造物における電位測定距離についてキビシの値を考慮して定めたべきであろう。

以上3ヶ月までの結果を報告したが、鉄筋腐食は初期の浸透、ユニクリートの含水状態等に大きく左右される現象であり、更に試験を継続する予定である。

<参考文献>

- 1) 例えば、L.N. Callow et al.; Corrosion Monitoring using Polarisation Resistance Measurements, British Corrosion Journal, Vol. 11, No. 3, pp. 123~131, 1976.3

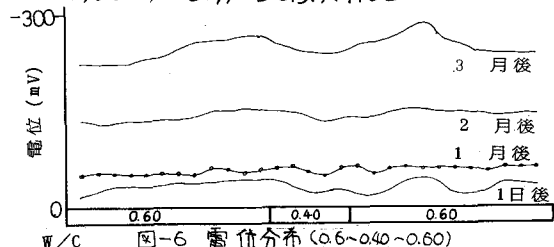


図-6 電位分布(0.6~0.40~0.60)

供試体	アーチド、カソード距離(cm)	電位差(曝露3ヶ月)(mV)	備考
0.60	50-80(65)	50-59(54)	腐食/非腐食の境界
0.40	—	32-37(35)	非腐食
0.60-ひびわれ	40-90(60)	120-182(53)	全体が腐食領域
0.40-ひびわれ	30-140(85)	134-170(60)	一部分が腐食領域
0.60-0.40-0.60	30-90(65)	59-93(74)	ほぼ全体が腐食領域
0.40-0.60-0.40	—	23-26(24)	非腐食

()内は平均

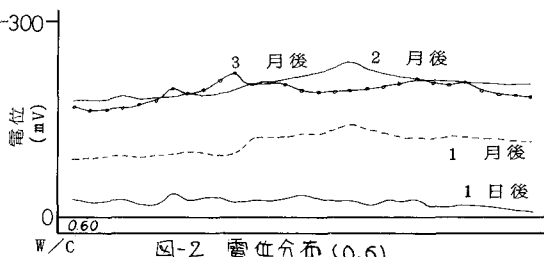


図-2 電位分布(0.6)

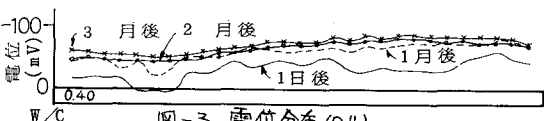


図-3 電位分布(0.4)

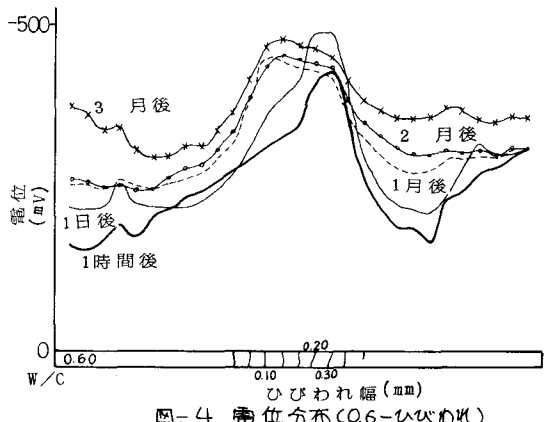


図-4 電位分布(0.6-ひびわれ)

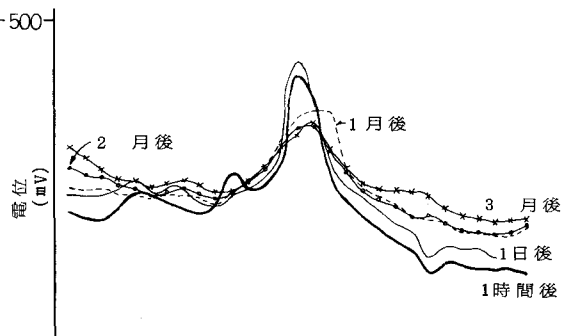


図-5 電位分布(0.4-ひびわれ)

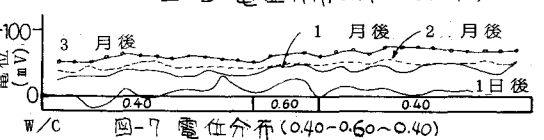


図-7 電位分布(0.40-0.60-0.40)